

# 蝎虎天体 PKS 0735+178 的光变特性分析

余莲, 张雄, 王文广, 罗双玲

(云南师范大学物理与电子信息学院, 云南 昆明 650500)

**摘要:** 在收集大量数据的基础上, 用时间补偿离散傅里叶变换、Jurkevich 方法和离散相关分析法分析了 PKS 0735+178 的 B 波段和 V 波段光变周期, 发现该天体具有  $(4.33 \pm 0.41)$

年的光变周期, 其中心黑洞质量的下限为  $0.22 \times 10^6 M_{\odot}$ 。

**关键词:** PKS 0735+178; DCDF 方法; Jurkevich 方法; DCF 方法; 光变周期; 黑洞质量

中图分类号: P1

文献标识码: A

文章编号: 1672-7673

BL Lac 天体是活动星系核中一个重要的子类, BL Lac 天体在观测上表现出高光度、高偏振、快速光变以及非热辐射等特征<sup>[1-2]</sup>, BL Lac 天体具有长周期光变和短时标光变<sup>[3-5]</sup>, 通过观测和研究 BL Lac 天体不同的光变时标能获得天体的中心黑洞质量、辐射区域及内部结构参数等<sup>[6-7]</sup>。因此, 研究该天体的光变周期非常重要。

BL Lac 天体 PKS 0735+178 是一颗红移为 0.424 的耀变体<sup>[8]</sup>, 它具有平射电谱和射电爆、剧烈的光变、高偏振及超光速运动等性质<sup>[9]</sup>, 不发出或仅发出微弱和间断的发射线<sup>[10]</sup>。众所周知, 分析 PKS 0735+178 光变周期的方法很多, 但是有些方法误差极大, 对观测数据的连续性有极高的要求, 并不适合周期性研究, 而 BL Lac 型天体由于观测特征表明无发射线<sup>[1]</sup>, 要通过光谱观测获取光谱线, 并用其研究中心黑洞质量等内部结构参数是不可能的<sup>[2-3]</sup>。本文主要使用时间补偿离散傅里叶变换、离散相关分析法和 Jurkevich 3 种方法对 B 波段和 V 波段的光变周期进行研究, 并对比分析这 3 种方法, 其中时间补偿离散傅里叶变换和离散相关分析法是初次用于研究 PKS 0735+178 的光变周期, 这两种方法对观测数据的连续性要求低、结果准确, 而 Jurkevich 方法在文[9]中用过, 并且它要求观测数据的时间序列长、连续性强。

## 1 样本和光变曲线

本文研究的数据从文[11-18]获取, 收集从 1970 年到 2002 年期间 PKS 0735+178 光学 B 波段和 V 波段的观测数据。图 1 和图 2 分别为 B 波段和 V 波段的光变曲线。从光变曲线可以看出: PKS 0735+178 在光学波段活动非常激烈, 在近 30 年的观测中, B、V 波段的最大变化近 3.5 个星等, 由于受观测条件的限制, 光变曲线数据不连续, V 波段将近 9 年没有数据, 使周期性分析受到限制。

\*基金项目: 国家自然科学基金(11663009)资助; 云南省高校高能天体物理重点实验室资助。

作者简介: 余莲, 女, 硕士研究生, 研究方向: 活动星系核. Email: 1261773081@qq.com.

通讯作者: 张雄, 男, 教授, 研究方向: 活动星系核. Email: ynzx@yeah.net

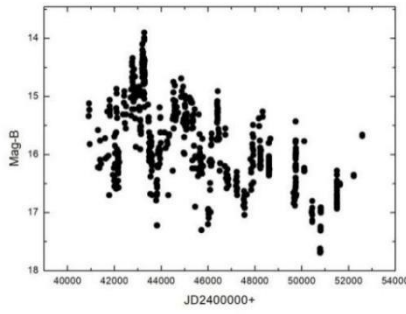


图1 PKS 0735+178 在 B 波段的光变曲线

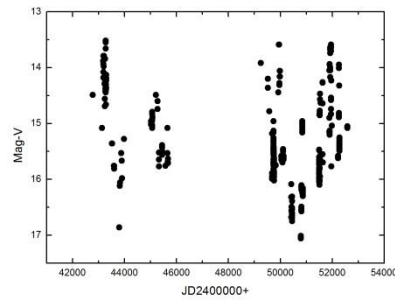
Fig.1 The light curve of quasar PKS 0735+178 in  
B band

图2 PKS 0735+178 在 V 波段的光变曲线

Fig.2 The light curve of quasar PKS 0735+178 in  
V band

## 2 周期分析

### 2.1 时间补偿离散傅里叶变换分析 PKS 0735+178 的光变周期

时间补偿离散傅里叶变换方法是计算光变周期最常用的方法之一，文[19]用该方法分析 PKS 1510-089 红外光变周期, 通过对  $1$ 、 $\sin \omega t$ 、 $\cos \omega t$  作 Gram-Schmidt 正交化，得到 3 个正交向量，将数据投影到 3 个正交向量上就得到了频谱：

$$H_0 = 1, \quad (1)$$

$$H_1 = \cos \omega t, \quad (2)$$

$$H_2 = \sin \omega t. \quad (3)$$

正交化后：

$$h_0 = a_0 H_0, \quad (4)$$

$$h_1 = a_1 H_1 - a_1 a_0 (h_0, H_1), \quad (5)$$

$$h_2 = a_2 H_2 - a_2 a_0 (h_0, H_2) - a_2 a_1 (h_1, H_2). \quad (6)$$

对于均匀采样的数据，这个过程对应于用三维“正弦+常数”模型进行曲线拟合。如果周期大于采样时间，且时间序列足够长，覆盖所有的相位，则有

$$(H_1, H_1) \cong (H_2, H_2) \cong \frac{1}{2} a_0^2 = \frac{N}{2}, \quad (7)$$

功率谱强度为：

$$I(\omega) = 2a_0^2 \|F(\omega)\|^2 = c_1^2 + c_2^2 \quad (8)$$

其中， $F(\omega)$ 为离散傅立叶变换的功率谱。在不均匀采样的情况下， $F(\omega)$ 是加权的时间补偿离散傅立叶变换：

$$F(\omega) = (f, h_1 + ih_2) / a_0 \sqrt{2} \quad (9)$$

在许多蝎虎天体的观测中，观测数据  $f(t_i)$  的精度各不相同。考虑到这个问题，引进权重方

程  $\omega_i = \omega(t_i)$  重新定义内积：

$$(g_1, g_2) = \sum \omega_i g_1(t_i) g_2(t_i) \quad (10)$$

频率  $\omega$  处的强度由下式给出：

$$I(\omega) = c_1^2 + c_2^2 \quad (11)$$

由线性回归理论可知， $0 \leq I(\omega) \leq Q$ ，其中  $Q = (f, f) = \sum \omega_i f(t_i)^2$ 。利用这一性质，引进

标准化因子：统计量  $S(\omega) = I(\omega)/Q$ ，称这一量为谱相关系数，对于所有频率  $\omega$ ，

$$0 \leq S(\omega) \leq 1。$$

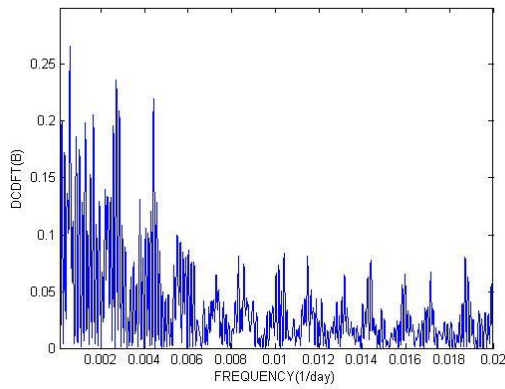


图3 DCDFT 法分析 PKS 0735+178 的 B 波段周期

Fig.3 DCDFT method analysis the variability period of PKS 0735+178 in B band

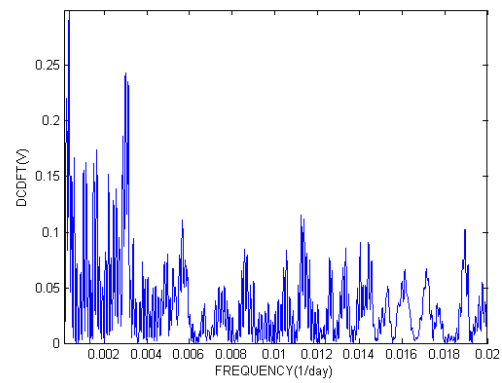


图4 DCDFT 法分析 PKS 0735+178 的 V 波段周期

Fig.4 DCDFT method analysis the variability period of PKS 0735+178 in V band

应用上述方法获得 PKS 0735+178 的 B 波段和 V 波段周期图，由图 3、图 4 可知，B 波段存在 0.62 年、1.01 年、1.67 年、4.72 年的光变周期信息，V 波段存在 0.58 年、1.07 年、1.67 年 4.72 年的光变周期信息，按文[19]中的判据，B 波段存在 1.01 年和 V 波段存在 1.07 年光变周期信息的可靠性最大，而 B 和 V 波段存在 4.72 年次之。但考虑到平均时标为

$(1.11 \pm 0.01)$  年的周期很可能是由于地球绕太阳所致，则光变周期 B 波段为 4.72 年，V 波段为 4.72 年。

## 2.2 Jurkevich 分析周期

Jurkevich 基于对天文测量中的非均匀测量问题提出的一种统计法<sup>[20]</sup>，如果观测样本数据为  $N$  个， $X_i$  为单次测量值， $\bar{X}$  为所有测量值的平均值， $V^2$  为测量数据的方差， $S^2$  为测量数据样本的标准偏差。则有

$$\bar{X} = \frac{1}{N} \sum_{i=1}^N X_i, \quad (12)$$

$$V^2 = \sum_{i=1}^N X_i^2 - NX^2, \quad (13)$$

$$S^2 = V^2 / (N-1). \quad (14)$$

如果样本数据划分为  $m$  组, 对应第 1 组的统计参数为

$$\bar{X}_i = \frac{1}{m_i} \sum_{i=1}^N X_i, \quad (15)$$

$$V_i^2 = \sum_{i=1}^{m_i} X_i^2 - m_i \bar{X}_i^2, \quad (16)$$

$$S_i^2 = V_i^2 / (m_i - 1). \quad (17)$$

对应  $m$  组的总方差为:  $V_m^2 = \sum_{i=1}^m V_i^2$  (18)

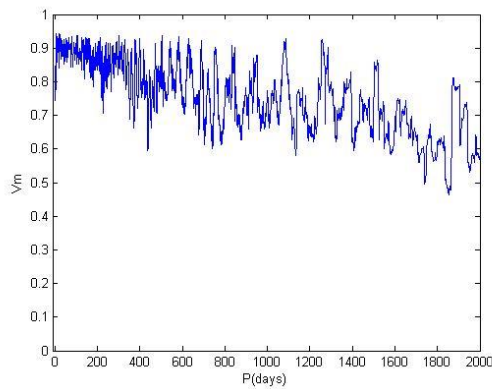


图5 Jurkevich 方法分析 PKS 0735+178 B 波段光变周期  
Fig.5 Jurkevich method analysis the variability period of PKS 0735+178 in B band

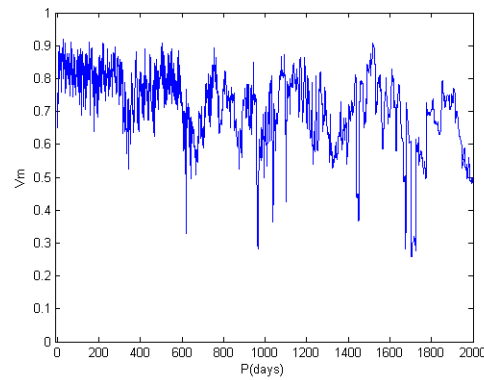


图6 Jurkevich 方法分析 PKS 0735+178 V 波段光变周期  
Fig.6 Jurkevich method analysis the variability period of PKS 0735+178 in V band

应用上述 Jurkevich 方法获得 PKS 0735+178 的 B 和 V 波段  $P-V_m$  图, 由图 5、图 6 可

以看出, 对应于  $V_m$  的最小值, B 波段存在 1.02 年、1.20 年、1.66 年、4.77 年的光变周期,

V 波段周期存在 0.94 年、1.71 年、2.82 年、3.97 年的光变周期。根据光变周期存在的判据<sup>[20]</sup>, B 波段存在 1.02 年和 V 波段存在 0.94 年光变周期信息的可靠性最大, 而 B 波段存在 4.77

和 V 波段存在 3.97 年次之。但考虑到平均时标为  $(1.11 \pm 0.01)$  年的周期很可能是由于地球

绕太阳所致, 则 B 波段存在 4.77 年周期, V 波段存在 3.97 年周期。

### 2.3 离散相关分析法分析

离散相关分析法是用来分析两组离散数据相关性的方法之一<sup>[21-23]</sup>, 文[24]用此方法分析 BL Lac 天体 PKS 0537-441 的光变特性<sup>[24]</sup>, 该方法最大的特点是不需要对数据做任何处理, 就能判断出两组数据的相关性。该方法的具体的步骤如下:

首先计算两组数据的离散相关函数值。如数组  $a_i$  和  $b_i$ , 则离散相关函数值为:

$$UDCF_{ij} = \frac{(a_i - \bar{a})(b_j - \bar{b})}{\delta_a \delta_b} \quad (19)$$

$\bar{a}$  和  $\bar{b}$  分别为两组数据的平均值； $\delta_a \delta_b$  分别为对应的标准偏差。

其次计算 DCF( $\tau$ ) 值。通过时间延迟  $\Delta t_{ij} = t_i - t_j$  把两组数联系起来，假如时间延迟为  $\tau$ ，

在区间  $\tau \pm \Delta\tau/2$  中有  $M$  个  $\Delta t_{ij}$ 。则 DCF( $\tau$ ) 值为

$$DCF(\tau) = \frac{1}{M} \sum UDCF_{ij} \quad (20)$$

再次离散相关函数的误差为

$$\sigma DCF(\tau) = \frac{1}{M-1} \left\{ \sum [UDCF_{ij} - DCF(\tau)]^2 \right\}^{\frac{1}{2}} \quad (21)$$

对于所得到的离散相关图，如果峰值在零的右面，表明数组  $a_i$  早于数组  $b_i$  的变化。反之，数组  $a_i$  就会迟于数组  $b_i$ 。

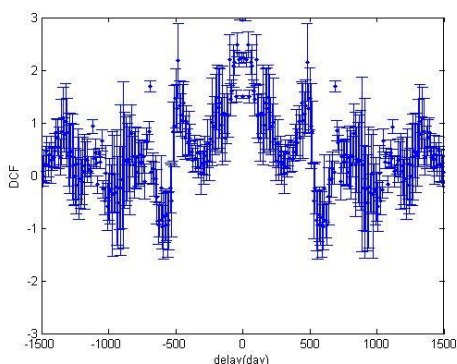


图 7 PKS 0735+178 在 B 波段的相关性分析

Fig.7 The correlation analysis of PKS

0735+178 in B band

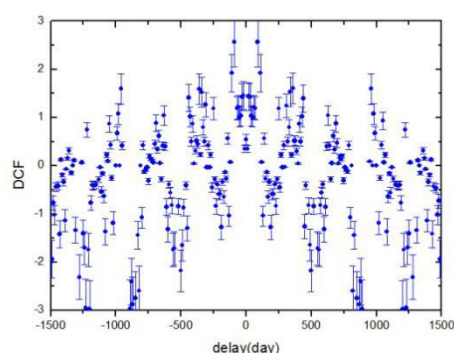


图 8 PKS 0735+178 在 V 波段的相关性分析

Fig.8 The correlation analysis of PKS

0735+178 in V band

通过使用离散相关函数对 PKS 0735+178 的 B 波段图像进行分析，所得结果如图 7、8，从图中得到 B 波段周期存在 1.21 年、2.27 年、3.62 年、3.81 年的光变周期信息，V 波段存在周期 1.21 年、2.22 年、3.15 年、4.00 年的光变周期信息。根据离散相关示数分析周期的方法<sup>[21-23]</sup>，B 和 V 波段存在 1.21 年光变周期信息的可靠性最大，而 B 波段存在 4.77 和 V 波段存在 3.97 年次之。但考虑到平均时标为  $(1.11 \pm 0.01)$  年的周期很可能是由于地球绕太阳所致，则 PKS 0735+178B 波段的周期为 3.81 年，V 波段的周期为 4.00 年。

### 3 讨论与结论

本文主要收集了 PKS 0735+178 的光变数据，运用时间补偿离散傅里叶变换、urkevich

方法和离散相关分析法 3 种方法分析 PKS 0735+178 的光变周期，时间补偿离散傅里叶变换法分析 B 波段得到的周期大致为  $5.80 \times 10^{-4} (1/\text{day})$ ，V 波段周期为  $5.80 \times 10^{-4} (1/\text{day})$ ；

Jurkevich 方法分析得到 B 波段的周期大致为 1740 天，V 波段的周期大致为 1450 天；DCF 方法分析的得到 B 波段的周期大致为 1390 天，V 波段的周期大致为 1460 天。由此可得出，

BL Lac 天体 PKS 0735+178 的光变周期为  $(4.33 \pm 0.41)\text{yr}$ 。这与文[25]和文[11]用其他方

法研究结果基本一致。根据周期分析获得的 PKS 0735+17 的周期  $(4.33 \pm 0.41)\text{yr}$ ，我们利

用薄吸积盘理论<sup>[3]</sup>来分析该蝎虎天体 PKS 0735+178 的中心黑洞质量和薄吸积盘的热不稳定性发生的区域。一般情况下，热有限循环周期性取决于粘滞度参数  $\alpha$ ，中心黑洞质量为

$$M_6 = \frac{M}{10^6 M_\odot} \text{ 和 广义应力张量参数 } \mu, \text{ 因此爆发时间为}$$

$$t_{burst} = 4.52 \alpha_{0.1}^{-0.62} M_6^{1.37} \text{ yrs}, \quad (22)$$

其中， $\alpha$  为粘滞系数； $M_6$  以  $10^6$  倍太阳质量为单位； $M$  为 PKS 0735+178 的中心黑洞质量。

由于目前吸积盘粘滞度的起源和特性都还不清楚，用磁流体力学对其讨论是一种常用的方法，文[26]提出如果磁场的逃逸率比较低，可以认为  $\mu = 0.5$ ，使用这个参数值，长周期

爆发时间大约为  $2t_{burst}$ ，即

$$t_{cyc} = 9.04 \alpha_{0.1}^{-0.62} M_6^{1.37} \text{ yrs}, \quad (23)$$

对于 PKS 0735+178，如果  $\alpha = 0.1$ ， $\mu = 0.5$ ，分析获得的周期是  $(4.33 \pm 0.41)\text{yr}$ ，可

以得出其中心黑洞质量为  $M = 0.22 \times 10^6 M_\odot$ ，这个中心黑洞质量对于 PKS 0735+178 来说

太小，由于利用薄吸积盘理论分析方法考虑黑洞的自旋，所以中心黑洞质量偏小，但蝎虎天体的观测特性表明，这类天体在光谱观测中无发射线<sup>[10]</sup>，作为深入研究该类天体给出了黑洞质量的下限也是有意义的，在今后的 CCD 测光观测中寻找短时标光变，从而获得中心黑洞质量，与之做进一步比较。

从图上也可看出不同的方法周期性的明显程度也不一样。时间补偿离散傅里叶变换法可以运用到天体数据处理上，可以有效地处理不均匀的天文数据，克服传统的傅里叶变换带来的伪周期，时间补偿离散傅里叶变换法通过施密特正交化，有效地解决由于  $1$ 、 $\cos \omega t$  和  $\sin \omega t$  3 个向量不正交而带来伪信号的问题<sup>[27]</sup>。用离散相关性函数对 PKS 0735+178 天体的 B 波段和 V 波段相关性分析，从图中可以看出它们之间存在很强的相关性，表明它们之间的辐射起源是相似的<sup>[24]</sup>。

另外，在光变周期信息分析中，注意到  $(1.11 \pm 0.01)$  年这个结果可能和一年的观测周期有

关，这个周期可能是由于有规律的观测时间间隔导致的<sup>[28]</sup>，平均时标为  $(1.11 \pm 0.01)$  年的

周期很可能是由于地球绕太阳所致<sup>[29]</sup>。当然，也可能是天体 PKS 0735+178 的真实光变周期，

其他光变周期信息是这个周期的  $N$  倍 ( $N=1, 2, 3\cdots$ )<sup>[30]</sup>。这个周期的研究<sup>[30]</sup>，对今后的观测有指导意义。将通过实测和更多的观测证明天体 PKS 0735+178 的光变周期。



## 参考文献:

- [1]Dondi L, Ghisellini G. Gamma-ray-loud blazars and beaming[J]. *Monthly Notices of the Royal Astronomical Society*, 1995, 273(3): 583-595.
- [2]刘云, 张雄, 郑永刚, 等. Blazar 天体的光变和偏振[J]. *物理学报*, 2007, 56(9): 5558-5563.  
Liu Yun, Zhang Xiong, Zheng Yonggang, et al. Polarization and variations of Blazar[J]. *Acta Physica Sinica*, 2007, 56(9): 5558-5563.
- [3]Zhang X, Xie G Z, Bai J M. A historical light curve of 3C 345 and its periodic analysis[J]. *Astronomy and Astrophysics*, 1998, 330: 469-473.
- [4]Zhang X, Zheng Y G, Zhang H J, et al. CCD photometry and optical variability of the BL Lacertae object H0323+ 022[J]. *The Astrophysical Journal Supplement Series*, 2008, 174(1): 111-116.
- [5] Zhang X, Zheng Y G, Zhang L, et al. Optical CCD photometry of the variability of the BL Lacertae object ON231 in a low state[J]. *Publications of the Astronomical Society of Japan*, 2008, 60(2): 145-160.
- [6]Xie G Z, Bai J M, Zhang X, et al. The massive black hole in the center of the active galaxy MRK 421[J]. *Astronomy and Astrophysics*, 1998, 334: L29-L31.
- [7] Zhang X, Zhao G, Zheng Y G, et al. CCD photometry and optical variability of gamma-ray-loud BL Lacertae object OJ 287 in a low, fainter state[J]. *The Astronomical Journal*, 2007, 133(5): 1995-2000.
- [8] Carswell R F, Strittmatter P A, Williams R E, et al. Optical observations of the radio source 0735+ 178[J]. *The Astrophysical Journal*, 1974, 190: L101-L104.
- [9] 丁世学, 贺长剑. BL Lac 天体 PKS 0735+178 的光变周期分析[J]. *襄樊学院学报*, 2003, 24(2): 3-6.  
Ding Shixue, He Changjian. The periodicity analysis of the light variability of BL Lacertae object PKS 0735+178 by using Jurkevich method[J]. *Journal of Xiang fan University*, 2003, 24(2): 3-6.
- [10]董云明. BL Lac 天体的辐射机制与分类[D]. 昆明: 中国科学院国家天文台云南天文台, 2003.
- [11] Webb J R, Smith A G, Leacock R J, et al. Optical observations of 22 violently variable extragalactic sources-1968-1986[J]. *The Astronomical Journal*, 1988, 95: 374-397.
- [12] Pollock J T, Pica A J, Smith A G, et al. Long-term optical variations of 20 violently variable extragalactic radio sources[J]. *The Astronomical Journal*, 1979, 84: 1658-1676.
- [13] Xie G Z, Li K H, Zhang Y H, et al. Simultaneous multi-range observations and detection of rapid variability of BL Lacertae objects [J]. *Astronomy and Astrophysics Supplement Series*, 1994, 106: 361-372.
- [14] Xie G Z, Li K H, Zhang X, et al. Optical monitoring sample of the GeV gamma-ray-loud blazars[J]. *The Astrophysical Journal*, 1999, 522(2): 846-862.
- [15] Bai J M, Xie G Z, Li K H, et al. Photometric monitoring of three BL Lacertae objects in 1993-1998[J]. *Astronomy and Astrophysics Supplement Series*, 1999, 136(3): 455-460.
- [16] Schaefer B E. A search for rapid Variability in eight quasars and BL Lacertae objects [J]. *Publications of the Astronomical Society of the Pacific*, 1980, 92(547): 255-258.
- [17] Qian B, Tao J. Optical monitoring of PKS 0735+178 from 1995 to 2001 and its historical periodic light curve[J]. *Publications of the Astronomical Society of the Pacific*, 2004, 116(816): 161-169.
- [18] Zhang X, Zhang L, Zhao G, et al. Optical monitoring of three gamma-ray-loud BL Lacertae objects in 1999-2002[J]. *The Astronomical Journal*, 2004, 128(5): 1929-1941.
- [19] 罗双玲, 张雄, 王文广. 时间补偿离散傅里叶变换分析 PKS 1510-089 红外光变周期[J].



云南师范大学学报: 自然科学版, 2016, 36(5): 1-4.

Luo Shuangling, Zhang Xiong, Wang Wenguang. The optical variability periodicity analysis of PKS 1510-089 based on date compensated discrete fourier transform[J]. Journal of Yunnan Normal University: Natural Sciences Edition, 2016, 36(5): 1-4.

[20] Jurkevich I. A method of computing periods of cyclic phenomena[J]. Astrophysics and Space Science, 1971, 13(1): 154-167.

[21] 高蓉, 杨金雪, 李怀珍. BL Lac 天体 PKS2155-304 光变特性分析[J]. 云南师范大学学报: 自然科学版, 2015, 35(1): 1-4.

Gao Rong, Yang Jinxue, Li Huaizhen. The variability analysis of BL Lac objects PKS 2155-304[J]. Journal of Yunnan Normal University: Natural Sciences Edition, 2015, 35(1): 1-4.

[22] Edelson R A, Krolik J H. The discrete correlation function-a new method for analyzing unevenly sampled variability data[J]. The Astrophysical Journal, 1988, 333: 646-659.

[23] Hufnagel B R, Bregman J N. Optical and radio variability in blazars[J]. The Astrophysical Journal, 1992, 386: 473-484.

[24] 王文广, 张皓晶, 王雪品, 等. BL Lac 天体 PKS 0537-441 的光变特性分析[J]. 云南师范大学学报: 自然科学版, 2016, 36(4): 1-7.

Wang Wenguang, Zhang Haojing, Wang Xuepin, et al. The variability analysis of BL Lac objects PKS 0537-441[J]. Journal of Yunnan Normal University: Natural Sciences Edition, 2016, 36(4): 1-7.

[25] Smith P S, Balonek T J, Elston R, et al. Optical and near-infrared observations of BL Lacertae objects and active quasars[J]. The Astrophysical Journal Supplement Series, 1987, 64: 459-485.

[26] Horiuchi T, Kato S. A model of hydromagnetic turbulent viscosity in radiation-pressure-dominated disks[J]. Publications of the Astronomical Society of Japan, 1990, 42(5): 661-674.

[27] 李娟. Blazar 光变研究[D]. 广州: 广州大学, 2007.

[28] Kidger M, Takalo L, Sillanpaa A. A new analysis of the 11-year period in OJ287-Confirmation of its existence[J]. Astronomy and Astrophysics, 1992, 264: 32-36.

[29] Liu F K, Xie G Z, Bai J M. A historical light curve of ON 231 and its periodic analysis[J]. Astronomy and Astrophysics, 1995, 295: 1-10.

[30] Fan J H, Xie G Z, Lin R G, et al. The long-term variability of BL Lac object PKS 0735+178[J]. Astronomy and Astrophysics Supplement Series, 1997, 125(3): 525-528.

## The Variability Analysis of PKS 0735+178

Yu Lian, Zhang Xiong, Wang Wen-guang, Luo Shuang-ling

(College of Physics and Electronics, Yunnan Normal University, Kunming 650500, China, Email: ynzx@yeah.net)

**Abstract:**In this paper, we used the time compensation discrete Fourier transform method and discrete correlation analysis (DCDFT), Jurkevich ,DCF model to analyses B band and V band periodicity of the PKS 0735 + 178, based on a large amount of data we have collected. We found that the variability period is about  $(4.33 \pm 0.41)$  years and the lower limits of the central black hole mass is  $0.22 \times 10^6 M_{\odot}$ .

**Keywords:** PKS 0735 + 178; DCDFT method; Jurkevich method; DCF model method; Variability; Black hole mass